

SID



سرویس های
ویژه



سرویس ترجمه
تخصصی



کارگاه های
آموزشی



بلگ
مرکز اطلاعات علمی



عضویت در
خبرنامه



فیلم های
آموزشی

کارگاه های آموزشی مرکز اطلاعات علمی جهاد دانشگاهی



PROPOSAL پروپوزال

دستورات تحریفی
پروپوزال نویسی و پایان نامه نویسی

کارگاه آنلاین
پروپوزال نویسی و پایان نامه نویسی



دستورات تحریفی
روشن تحقیق و مقاله نویسی علم انسانی

کارگاه آنلاین
روش تحقیق و مقاله نویسی علوم انسانی



IST
Scopus

آشنایی با پایه های اطلاعات علمی بین المللی و ترقی های جستجو

کارگاه آنلاین آشنایی با پایه های اطلاعات علمی
بین المللی و
ترندی های جستجو

تقریب مرتبه دوم ساختار پنگوئن QCD در واپاشی‌های کوارک b

حسین مهربان: دانشگاه سمنان، گروه فیزیک

چکیده

در این تحقیق ساختار پنگوئن QCD^۱ معرفی و تا تقریب مرتبه دوم محاسبه شده است. دامنه واپاشی‌های مربوط به پنگوئن QCD در مدل کوارک b در مرتبه اول و دوم محاسبه شده است. دامنه پنگوئن QCD در پایین‌ترین مرتبه α_s برای واپاشی فرایندهای مرتبه اول به صورت $q_k q_i \bar{q}_j g \rightarrow b$ و مرتبه دوم به صورت $\rightarrow q_k q_i \bar{q}_j g \rightarrow q_k q_i \bar{q}_j (q_o \bar{q}_p) b \rightarrow q_k q_i \bar{q}_j$ محاسبه شده است. آهنگ زمانی واپاشی‌های مختلف کوارک b تا تقریب مرتبه اول و دوم پنگوئن QCD محاسبه شده است. آهنگ زمانی واپاشی‌های مرتبه دوم نسبت به مرتبه اول در واپاشی‌های کوارک b بسیار کوچک است، به عبارت دیگر در واپاشی‌های کوارک b می‌توان با تقریب بسیار خوب از مرتبه دوم پنگوئن QCD صرف‌نظر کرد. با استفاده از واپاشی‌های مختلف مدل کوارک b ، واپاشی‌های دو جسمی و سه جسمی مزون‌های B را به دست آورده‌ایم و با مقایسه نسبت تثابت^۲ تئوری و تجربی نشان داده‌ایم که تقریب مرتبه دوم پنگوئن QCD در واپاشی‌های کوارک b ناچیز و قابل صرف‌نظر کردن است.

مقدمه (تئوری پنگوئن)

در سال ۱۹۵۷ نظریه مناسبی برای واپاشی‌های ضعیف غیرلپتونی پیشنهاد شد که بعداً پنگوئن نامیده شد. این مکانیزم به ایده ویلسون یعنی بسط حاصل ضرب عملگری^۳ OPE [۱] در فواصل کوتاه و آشکار شدن اثر مقابل این تئوری به کوارک‌های سنگین در نظریه^۴ GIM و کوارک‌های سبک در خواص کایرال از^۵ QCD گسترش یافت و به این ترتیب تئوری پنگوئن پیشنهاد شد تا نقش جدیدی در میدان‌های پدیده‌شناسی ذرات ایفا کند [۲]. واپاشی‌های پنگوئن قبل از تحلیل اثرات QCD در واپاشی‌های مزون K بیان شده بود و بهمدت کوتاهی نمودارهای پنگوئن نقش مهمی در نقض cp ایفا کردند که ابتدا در واپاشی‌های مزون K و بعد از آن در واپاشی‌های مزون B بررسی شدند [۳]. زمانی که QCD به عنوان تئوری برهمکنش قوی در نظر گرفته شد،

واژه‌های کلیدی: پنگوئن QCD، مدل کوارک، کوارک b ، مزون B ، آهنگ زمانی واپاشی، نسبت تثابت

دریافت ۸/۸/۹۰ پذیرش ۸/۱۲/۹۰

*نویسنده مسئول hmehraban@semnan.ac.ir

۱. QCD- Penguin

۲. Quark Model

۳. Decay Rates

۴. Branching Ratio

۵. Operator

۶. Product Expansion

۷. Glashow-Iliopoulos-Maiani

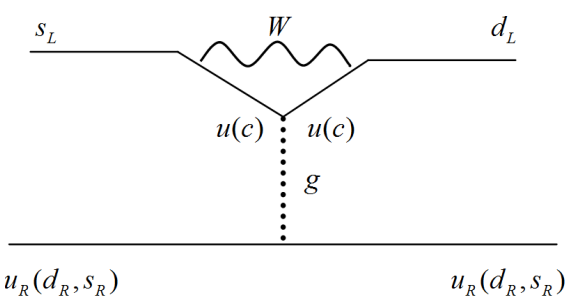
۸. Quantum Chromodynamic

اثرات آن در واپاشی‌های ضعیف بررسی شد. مهمترین مسئله از برهمکنش‌های قوی در این واپاشی‌ها، قانون $\Delta I = 1/2$ در برهمکنش‌های ضعیف غیرلپتونی در مورد ذرات عجیب است [۴]. بهوسیلهٔ پدیدهٔ آزادی مجانبی امکان کنترل کامل آزمایشگاهی در فواصل کوتاه بوجود آمد. در نظریهٔ QCD بسط OPE در رابطه با برهمکنش‌های ضعیف غیرلپتونی به چندین جملهٔ تکنیکی که می‌توانند هامیلتونی مؤثر در برهمکنش‌های ضعیف در فواصل کوتاه را محاسبه کند، محدود می‌شود. برهمکنش‌های ضعیف با بوزون W حمل می‌شوند، بنا براین فواصلی در حدود $1/M_W$ با حدود $1/M_W = 80 \text{ GeV}$ هستند. تحلیل نظریهٔ QCD در این فواصل با هامیلتونی مؤثر انجام می‌شود. پدیدهٔ آزادی مجانبی در فواصل کوتاه نشان می‌دهد که برهمکنش‌های قوی وابستگی لگاریتمی به اندازهٔ حرکت دارد [۵]. نتیجهٔ تعیین وابستگی $\Lambda_{QCD} / \text{Log} M_W / \Lambda_{QCD}$ است که مقیاس هادرونی است. در این فرضیه $1/\Lambda_{QCD} / M_W$ مقیاس‌های برای جرم کوارک‌های سنگین t ، b و c هستند. حلقهٔ کوارک c در واپاشی‌های غیرلپتونی بی‌اهمیت بمنظر می‌رسد و با حذف فاکتور $M_W / (m_c^2 - m_u^2)$ می‌توان این حلقه را بهدست آورد زیرا اثرات کوارک‌های سنگین مهمتر است. حذف این فاکتور وابسته به فاصله است که اگر آن را با $r = 1/\mu$ تعریف کنیم خواهیم داشت [۶]:

$$\frac{m_c^2 - m_u^2}{\mu^2}, \quad m_c \ll \mu \ll M_W$$

$$\log \frac{m_c^2}{\mu^2}, \quad \mu \ll m_c$$

در هر حال عملگرهای جدید ظاهر شده در هامیلتونی مؤثر در فواصل بزرگتر از $m_c / 1$ از نظر کیفی مقاومت هستند. آن‌ها میدان‌های کوارک‌های راستدست را در مقابل کوارک‌های چپدست در فواصل بسیار کوچکتر از $m_c / 1$ شامل می‌شوند. بدین ترتیب هنگامی که کوارک‌های راستدست قوی شده، در برهمکنش‌های ضعیف در مدل استاندارد با جریان‌های ضعیف وارد می‌شوند، چپدست می‌گردد [۷]. بنا بر این کوارک‌های راستدست با گلئون‌ها که بدون اسپین هستند کوپل می‌شوند و عملگرهای جدید فقط در جریان‌هایی با $\Delta I = 1/2$ شرکت می‌کنند. به عبارت دیگر افزایش جریان‌های سبک ناشی می‌شود. این عملگر جدید را پنگوئن می‌نامند. شکل زیر نمودار فایمن برای عملگرهای جدید را نشان می‌دهد:



شکل ۱. نمودار فایمن مربوط به عملگرهای پنگوئن

پنگوئن گلنوی

با توجه به قانون پایستگی جریان گلنوی، راس $b \rightarrow q_k g$ دارای این ساختار است [۸، ۹]:

$$\Gamma_\mu^a(q^2) = (ig_s / 4\pi^2) \bar{u}_k(p_k) T^a V_\mu(q^2) u_b(p_b) \quad (۱)$$

اینجا

$$\begin{aligned} V_\mu(q^2) &= (q^2 g_{\mu\nu} - q_\mu q_\nu) \gamma^\nu [F_1^L(q^2) P_L + F_1^R(q^2) P_R] \\ &\quad + i\sigma_{\mu\nu} q^\nu [F_2^L(q^2) P_L + F_2^R(q^2) P_R] \end{aligned} \quad (۲)$$

اینجا F_1 و F_2 فرم فاکتورهای تکقطبی الکتریکی و دوقطبی مغناطیسی هستند، $q = q_g = p_b - p_k$ چهار اندازه حرکت گلنو، $P_{L(R)} \equiv (1 \mp \gamma_5)/2$ عملگرهای تصویر کایرال و T^a ($a = 1, \dots, 8$) مولد به هنگارش در حالت $\bar{b} \rightarrow \bar{q}_k g$ است. همچنین برای راس $SU(3)_c$ می‌توان ساختاری شبیه زیر

در نظر گرفت:

$$\bar{\Gamma}_\mu^a(q^2) = -(ig_s / 4\pi^2) \bar{v}_b(p_b) T^a \bar{V}_\mu(q^2) v_k(p_k) \quad (۳)$$

اینجا \bar{V}_μ همان شکل معادله (۲) را دارد با این تفاوت که به جای $F_{1,2}^{L,R}(q^2)$ باید $F_{1,2}^{L,R}(q^2)$ را قرار داد. در پایین‌ترین مرتبه α_s دامنه پنگوئن برای واپاشی‌های $q_k q_i \bar{q}_j$ ($i=j$) باشد $b \rightarrow q_k g \rightarrow q_k q' \bar{q}'$ برابر است با:

$$M^{Peng} = -i(\alpha_s / \pi) [\bar{u}_k(p_k) T^a Q_\mu u_b(p_b)] [\bar{u}_{q'}(p_{q'}) \gamma^\mu T^a v_{\bar{q}'}(p_{\bar{q}'})] \quad (۴)$$

اینجا $Q_\mu = g_s^2 / 4\pi$ و Q_μ برابر است با:

$$Q_\mu \equiv \gamma_\mu [F_1^L(q^2) P_L + F_1^R(q^2) P_R] + (i\sigma_{\mu\nu} q^\nu / q^2) [F_2^L(q^2) P_L + F_2^R(q^2) P_R] \quad (۵)$$

بهطور مشابه دامنه واپشی برای پاد کوارک $\bar{b} \rightarrow \bar{q}_k q' \bar{q}'$ برابر است با:

$$\bar{M}^{Peng} = i(\alpha_s / \pi) [\bar{v}_k(p_k) T^a \bar{Q}_\mu v_b(p_b)] [\bar{u}_{q'}(p_{q'}) \gamma_\mu T^a v_{\bar{q}'}(p_{\bar{q}'})] \quad (۶)$$

اینجا \bar{Q}_μ از شکل معادله (۵) پیروی می‌کند با این تفاوت که باید به جای فرم فاکتور (q^2) فرم فاکتور $\bar{F}(q^2)$ را جایگذاری کرد. در رابطه جمع F_2 سهم کوارک t غالب است، در نتیجه در مقیاس q^2 با تقریب

خوب خواهیم داشت: $F_2^R(q^2) \approx F_2^R(0)$ و $F_2^L(q^2) \approx F_2^L(0)$ ، و در نتیجه:

$$F_1^L(q^2) = (G_F / \sqrt{2}) \sum_{i=u,c,t} V_{ik}^* V_{ib} f_1(x_i, q^2), \quad F_1^R(0) = 0 \quad (۷)$$

$$F_2^L(0) / m_q = F_2^R(0) / m_b = (G_F / \sqrt{2}) \sum_{i=u,c,t} V_{iq}^* V_{ib} f_2(x_i) \quad (۸)$$

اینجا $(i = u, c, t)$ و $x_i \equiv m_i^2 / M_W^2$ همچنین:

$$f_2(x) = -(x/4(1-x)^4)[2+3x-6x^2+x^3+6x \ln x] \quad (۹)$$

$$f_1(x) = (1/12(1-x)^4)[18x-29x^2+10x^3+x^4-(8-32x+18x^2) \ln x] \quad (۱۰)$$

$$f_1(x_i, q^2) = (10/9) - (2/3) \ln x_i + (2/3 z_i) - (2(2z_i+1)/3z_i) g(z_i) \quad (۱۱)$$

اینجا $[11, 12]$ و $z_i \equiv q^2 / 4m_i^2$

$$g(z) = \begin{cases} \sqrt{\frac{1-z}{z}} \arctan\left(\sqrt{\frac{z}{1-z}}\right), & z < 1 \\ \frac{1}{2} \sqrt{\frac{z-1}{z}} \left[\ln\left(\frac{\sqrt{z} + \sqrt{z-1}}{\sqrt{z} - \sqrt{z-1}}\right) - i\pi \right], & z > 1 \end{cases} \quad (12)$$

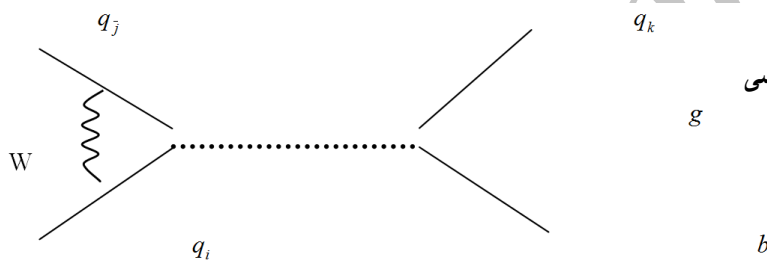
برای کوارک u مقدار z بزرگ است و ما می‌توانیم از شکل مجانبی رابطه (11) استفاده کنیم،

$$f_1(x_u, q^2) = (10/9) - (2/3)[\ln(q^2/M_W^2) - i\pi] \quad (13)$$

ملاحظه می‌کنیم که $F_1^R >> F_2^L$ است. برای دامنه واپاشی $\bar{q}' \rightarrow b$, $b \rightarrow d\bar{q}' \bar{q}$, ملاحظه می‌کنیم که جمله مربوط به F_1^L غالب است. در فرایند‌های شبیه $b \rightarrow d\bar{s}\bar{s}$ و $b \rightarrow \bar{b}$ انتظار می‌رود که سهم پنگوئن غالب باشد [۱۰] و سهم F_1^L نیز نسبت به سایر فرم فاکتورها غالب باشد. در واپاشی‌های شبیه $b \rightarrow s\bar{q}' \bar{q}$, دوباره ملاحظه می‌کنیم که $F_2^R >> F_1^L$ و سهم مربوط به فرم فاکتور F_1^L غالب است.

آهنگ زمانی واپاشی پنگوئن گلئونی تا تقریب مرتبه اول $b \rightarrow q_k q_i \bar{q}_j$

نمودار فایمن مربوط به واپاشی پنگوئن در تقریب مرتبه اول بین صورت نمایش داده می‌شود:



شکل ۲. نمودار فایمن مربوط به واپاشی پنگوئن در تقریب مرتبه اول

دامنه پنگوئن گلئونی در پایین‌ترین مرتبه در g_s برای فرآیند واپاشی $q_i q_k \bar{q}_j \rightarrow b$ مطابق رابطه (۴) به صورت

زیر به دست می‌آید:

$$M^{peng} = \frac{g_s^2}{4\pi^2} [\bar{u}_{q_k}(p_{q_k}) T^a Q_\mu u_b(p_b)] [\bar{u}_{q_i}(p_{q_i}) \gamma^\mu T^a v_{\bar{q}_j}(p_{\bar{q}_j})]. \quad (14)$$

که Q_μ با رابطه (۵) مشخص می‌شود. از آنجا که سهم F_2^L بسیار کوچک است عامل Q_μ بین صورت ساده

می‌شود:

$$Q_\mu = \gamma_\mu P_L F_1^L(q^2) = \gamma_\mu \frac{1-\gamma_5}{2} F_1^L(q^2) = \tilde{\sigma}_\mu F_1^L(q^2). \quad (15)$$

با جایگذاری رابطه بالا در دامنه پنگوئن گلئونی (۱۴) داریم:

$$M^{peng} = \frac{g_s^2}{4\pi^2} [\bar{u}_{q_k}(p_{q_k}) T^a F_1^L(q^2) \tilde{\sigma}_\mu u_b(p_b)] [\bar{u}_{q_i}(p_{q_i}) \gamma^\mu T^a v_{\bar{q}_j}(p_{\bar{q}_j})]. \quad (16)$$

در رابطه بالا مقدار γ^μ را می‌توان به صورت زیر در نظر گرفت:

$$\gamma^\mu = \gamma^\mu \frac{1-\gamma_5}{2} + \gamma^\mu \frac{1+\gamma_5}{2} = \tilde{\sigma}^\mu + \sigma^\mu \quad (17)$$

برای سادگی فقط جمله اول رابطه بالا را انتخاب می‌کنیم و در دامنه پنگوئن (۱۶) فرار می‌دهیم.

$$M^{peng} = \frac{g_s^2}{4\pi^2} [\bar{u}_{q_k}(p_{q_k}) T^a F_1^L(q^2) \tilde{\sigma}_\mu u_b(p_b)] [\bar{u}_{q_i}(p_{q_i}) \tilde{\sigma}^\mu T^a v_{\bar{q}_j}(p_{\bar{q}_j})] \quad (18)$$

بهمنظور ساده نوشتتن خواهیم داشت:

$$M^{peng} = \frac{g_s^2}{4\pi^2} T_{q_k b}^a T_{q_i q_j}^a F_1^L(q^2) [\tilde{\sigma}_\mu(q_k b)][\tilde{\sigma}^\mu(q_i q_j)] \quad (19)$$

اینجا،

$$\begin{aligned} [\tilde{\sigma}_\mu(q_k b)] &= [\bar{u}_{q_k}(p_{q_k}) \tilde{\sigma}_\mu u_b(p_b)] , \\ [\tilde{\sigma}^\mu(q_i q_j)] &= [\bar{u}_{q_i}(p_{q_i}) \tilde{\sigma}^\mu v_{\bar{q}_j}(p_{\bar{q}_j})] . \end{aligned} \quad (20)$$

با محاسبه مؤلفه‌های دامنه و اپاشی (۲۰) و متوسطگیری روی حالت‌های اسپینی $1/2$ و $-1/2$ - کوارک b و در نظر گرفتن هشت حالت هلیسیته^۱، مربع دامنه و اپاشی برابر می‌شود با (پیوست الف را نگاه کنید):

$$\begin{aligned} |M^{peng}|^2 &= \left[\frac{g_s^2}{4\pi^2} T_{q_k b}^a T_{q_i q_j}^a F_1^L(q^2) \right]^2 [(\tilde{\sigma}_\mu(q_k b)) (\tilde{\sigma}^\mu(q_i q_j))]^2 \\ &= \left[\frac{g_s^2}{4\pi^2} T_{q_k b}^a T_{q_i q_j}^a F_1^L(q^2) \right]^2 \frac{1}{2} (1 - v_i v_k \cos(\theta_i - \theta_k)) . \end{aligned} \quad (21)$$

اکنون می‌توانیم با استفاده از محدود دامنه و اپاشی، آهنگ زمانی و اپاشی‌های مختلف کوارک b را محاسبه کنیم.

با استفاده از قاعده طلایی فرمی آهنگ زمانی و اپاشی‌های پنگوئن گلدونی کوارک b $\rightarrow q_i q_k \bar{q}_j$ تا تقریب مرتبه اول برابر است با (پیوست الف را نگاه کنید):

$$\Gamma = \frac{3}{8\pi^3} \left(\frac{M_b}{2} \right)^5 \int_0^1 \int_0^1 [\xi(x)]^2 xy f_1 g_1 dxdy . \quad (22)$$

در اینجا:

$$\begin{aligned} f_1 &= (2 - \sqrt{x^2 + a^2} - \sqrt{y^2 + b^2}) \\ g_1 &= (1 - \frac{(f_1)^2 - (c^2 + x^2 + y^2)}{2\sqrt{x^2 + a^2} \sqrt{y^2 + b^2}}) \\ \xi(x) &= \frac{1}{\sqrt{2}} \frac{g_s^2}{4\pi^2} (T_{q_k b}^a T_{q_i q_j}^a) F_1^L(q^2) . \end{aligned} \quad (23)$$

ثابت‌های a و b و c عبارتند از:

$$a = \frac{2m_i}{M_b} , \quad b = \frac{2m_k}{M_b} , \quad c = \frac{2m_j}{M_b} . \quad (24)$$

^۱. helicity state

به عبارت ساده‌تر داریم:

$$\Gamma_{b \rightarrow q_i q_k \bar{q}_j} = 3\Gamma_0 I^{peng}. \quad (25)$$

که در آن انتگرال فضای فاز برابر است با:

$$I^{peng} = \int_0^1 \int_0^1 [\xi(x)]^2 6xy.f_1.g_1.dxdy, \quad (26)$$

و ثابت Γ_0 برابر با:

$$\Gamma_0 = \frac{1}{8} \frac{M_b^5}{192\pi^3}. \quad (27)$$

در حد $m_q \rightarrow 0$ فرم فاکتور $F_1^L(q^2)$ برابر است با:

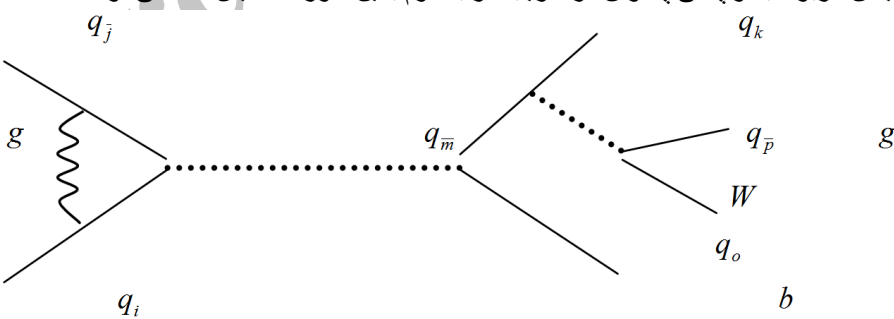
$$\begin{aligned} F_1^L(q^2) &= F_1^L(0) = \frac{G_F}{\sqrt{2}} \left[\sum_{i=u,c,t} V_{iq}^* V_{ib} f_1(x_i) \right] \\ &= \frac{G_f}{\sqrt{2}} (V_{uq}^* V_{ub} f_1(x_u) + V_{cq}^* V_{cb} f_1(x_c) + V_{tq}^* V_{tb} f_1(x_t)). \end{aligned} \quad (28)$$

کوارک q می‌تواند کوارک‌های s و d باشد. همچنین عامل رنگ مربوط به گلئون برابر است با:

$$\begin{aligned} \sum_{a=1}^8 T^a T^a &\equiv \langle green | T^a | red \rangle \langle red | T^a | green \rangle \\ &\equiv \frac{1}{3} \langle green | T^a T^a | green \rangle = \frac{1}{3} \frac{1}{3} Tr(T^a T^a) = \frac{1}{9} \frac{8}{2} = \frac{4}{9}. \end{aligned} \quad (29)$$

آهنگ زمانی واپاشی پنگوئن گلئونی تا تقریب مرتبه دوم $b \rightarrow q_k q_i \bar{q}_j (q_o \bar{q}_p)$

نمودار فاینمن مربوط به واپاشی پنگوئن در تقریب مرتبه دوم بدین صورت نمایش داده می‌شود:



دامنه پنگوئن گلئونی در دومین مرتبه در g_s برای فرآیند واپاشی $b \rightarrow q_i q_k \bar{q}_j (q'_o \bar{q}'_p)$ بدین صورت ارائه می‌شود:

$$M^{peng} = \left(\frac{g_s^2}{4\pi^2} \right)^2 [\bar{u}_{q_k}(p_{q_k}) T^a Q_\mu u_b(p_b)] [\bar{u}_{q_i}(p_{q_i}) \bar{W}^\mu T^a v_{\bar{q}_j}(p_{\bar{q}_j})]. \quad (30)$$

در اینجا:

$$Q_\mu \equiv \gamma_\mu [F_1^L(q^2)P_L + F_1^R(q^2)P_R] + \frac{i\sigma_{\mu\nu}}{q^2} [F_2^L(q^2)P_L + F_2^R(q^2)P_R]. \quad (31)$$

پارامترهای F_1 و F_2 فرم فاکتورهای تکقطی کتریکی و دوقطبی مغناطیسی هستند و q تکانه گلئون $SU(3)$ است. عملگر تصویر کایرال $(1 \pm \gamma_5)/2$ و $P_{L(R)} = (1 \pm \gamma_5)/2$ و T^a مولدهای $a = (1, \dots, 8)$ و $q = p_b - p_{q_k}$ هستند که تحت رابطه $Tr(T^a T^b) = \delta^{ab}/2$ به هنگار شده‌اند. رابطه (31) با توجه به سهم غالب $F_1^L(q^2) = \delta^{ab}/2$ بدهین صورت به دست می‌آید:

$$Q_\mu = \gamma_\mu P_L F_1^L(q^2) = \gamma_\mu \frac{1 - \gamma_5}{2} F_1^L(q^2) = \tilde{\sigma}_\mu F_1^L(q^2). \quad (32)$$

بنابراین دامنه واپاشی پنگوئن به صورت زیر بازنویسی می‌شود:

$$M^{peng} = \left(\frac{g_s^2}{4\pi^2}\right)^2 [\bar{u}_{q_k}(p_{q_k}) T^a F_1^L(q^2) \tilde{\sigma}_\mu u_b(p_b)] [\bar{u}_{q_i}(p_{q_i}) \bar{W}^\mu T^a v_{\bar{q}_j}(p_{\bar{q}_j})]. \quad (33)$$

اکنون باید قسمت اضافه شده گلئونی $q'_o q'_p \rightarrow g$ را وارد معادله بالا کنیم. این قسمت را در جمله \bar{W}^μ به این صورت وارد می‌کنیم:

$$\bar{W}^\mu = \gamma^\mu [\bar{u}_{q_j}(p_{q_j}) T^a \gamma_\mu v_{\bar{q}_m}(p_{\bar{q}_m})] [\bar{u}_{q'_o}(p_{q'_o}) \gamma^\mu T^a v_{\bar{q}'_p}(p_{\bar{q}'_p})]. \quad (34)$$

اکنون سعی می‌کنیم تا رابطه مذکور را بر حسب تصویر کایرال بنویسیم. برای این منظور γ^μ و $\tilde{\sigma}_\mu$ رابطه بالا را بدهین صورت نمایش می‌دهیم:

$$\begin{aligned} \gamma^\mu &= \gamma^\mu \frac{(1 - \gamma_5)}{2} + \gamma^\mu \frac{(1 + \gamma_5)}{2} = \tilde{\sigma}^\mu + \sigma^\mu, \\ \gamma_\mu &= \gamma_\mu \frac{(1 - \gamma_5)}{2} + \gamma_\mu \frac{(1 + \gamma_5)}{2} = \tilde{\sigma}_\mu + \sigma_\mu. \end{aligned} \quad (35)$$

برای سادگی فقط جمله‌های اول روابط بالا یعنی قسمت چپ‌گرد را انتخاب می‌کنیم. با جایگذاری در رابطه (34) خواهیم داشت:

$$\bar{W}^\mu = \tilde{\sigma}^\mu [\bar{u}_{q_j}(p_{q_j}) T^a \tilde{\sigma}_\mu v_{\bar{q}_m}(p_{\bar{q}_m})] [\bar{u}_{q'_o}(p_{q'_o}) \tilde{\sigma}^\mu T^a v_{\bar{q}'_p}(p_{\bar{q}'_p})]. \quad (36)$$

ابندا شاخه $q'_o q'_p \rightarrow g$ را محاسبه می‌کنیم و سپس آن را در رابطه اصلی دامنه پنگوئن (33) قرار می‌دهیم.

رابطه (36) با کمی خلاصه کردن به این صورت به دست می‌آید:

$$\bar{W}^\mu = \tilde{\sigma}^\mu (T^a_{q_j q_m} T^a_{q'_o q'_p}) [\tilde{\sigma}_\mu (q_j q_m)] [\tilde{\sigma}^\mu (q'_o q'_p)]. \quad (37)$$

که در آن:

$$\begin{aligned} [\tilde{\sigma}_\mu (q_j q_m)] &= [\bar{u}_{q_j}(p_{q_j}) \tilde{\sigma}_\mu u_{q_m}(p_{q_m})], \\ [\tilde{\sigma}^\mu (q'_o q'_p)] &= [\bar{u}_{q'_o}(p_{q'_o}) \tilde{\sigma}^\mu u_{q'_p}(p_{q'_p})]. \end{aligned} \quad (38)$$

دامنه قسمت شاخه‌ای $g \rightarrow q'_o q'_p$ بدينصورت بهدست می‌آيد (پيوست ب را نگاه کنيد):

$$\begin{aligned} \bar{W}^\mu &= \tilde{\sigma}^\mu (T_{q_j q_m}^a T_{q'_o q'_p}^a) [\tilde{\sigma}_\mu (q_j q_m)] [\tilde{\sigma}^\mu (q'_o q'_p)] \\ &= \tilde{\sigma}^\mu (T_{q_j q_m}^a T_{q'_o q'_p}^a) (1 + v_o) (1 + v_p) (1 + v_j) [1 - \cos(\theta_o - \theta_j)] . \end{aligned} \quad (39)$$

حال که دامنه قسمت شاخه‌ای $g \rightarrow q'_o q'_p$ را بهدست آورديم، به قسمت اصلی یعنی دامنه واپاشی پنگوئن (33)

باز می‌گرديم. با جايگذاري \bar{W} از رابطه (37) در دامنه واپاشی پنگوئن (33) خواهيم داشت:

$$\begin{aligned} M^{peng} &= \left(\frac{g_s^2}{4\pi^2} \right)^2 [\bar{u}_{q_k} (p_{q_k}) T_{q_k b}^a F_1^L(q^2) \tilde{\sigma}_\mu u_b(p_b)] \\ &\times [\bar{u}_{q_i} (p_{q_i}) \tilde{\sigma}^\mu (T_{q_j q_m}^a T_{q'_o q'_p}^a) [\tilde{\sigma}_\mu (q_j q_m)] [\tilde{\sigma}^\mu (q'_o q'_p)] T_{q_i q_j}^a v_{\bar{q}_j} (p_{\bar{q}_j})] . \end{aligned} \quad (40)$$

با کمی سادهسازی خواهيم داشت:

$$\begin{aligned} M^{peng} &= \left(\frac{g_s^2}{4\pi^2} \right)^2 F_1^L(q^2) (T_{q_k b}^a T_{q_i q_j}^a) (T_{q_j q_m}^a T_{q'_o q'_p}^a) \\ &\times [\tilde{\sigma}_\mu (q_k b)] [\tilde{\sigma}^\mu (q_i q_j)] [\tilde{\sigma}_\mu (q_j q_m)] [\tilde{\sigma}^\mu (q'_o q'_p)] . \end{aligned} \quad (41)$$

كه در آن:

$$\begin{aligned} [\tilde{\sigma}_\mu (q_k b)] &= [\bar{u}_{q_k} (p_{q_k}) \tilde{\sigma}_\mu u_b(p_b)] , \\ [\tilde{\sigma}^\mu (q_i q_j)] &= [\bar{u}_{q_i} (p_{q_i}) \tilde{\sigma}^\mu u_{\bar{q}_j} (p_{\bar{q}_j})] . \end{aligned} \quad (42)$$

بعد از محاسبه عبارات (42) و جايگذاري آن در دامنه واپاشي (41) و مربع آن خواهيم داشت (پيوست ب را نگاه کنيد):

$$\begin{aligned} |M^{peng}|^2 &= \left| \left(\frac{g_s^2}{4\pi^2} \right)^2 F_1^L(q^2) (T_{q_k b}^a T_{q_i q_j}^a) (T_{q_j q_m}^a T_{q'_o q'_p}^a) \right|^2 \\ &\times 64 [1 - v_o v_j \cos(\theta_o - \theta_j) - v_k v_i \cos(\theta_i - \theta_k) + v_j v_o v_i v_k \cos(\theta_i - \theta_k) \cos(\theta_o - \theta_j)] \end{aligned} \quad (43)$$

اکنون می‌خواهيم با استفاده از مجزور مؤلفه‌های دامنه واپاشی، آهنگ زمانی واپاشی‌های پنگوئنی کوارک b تا تقریب مرتبه دوم را محاسبه کنیم. با استفاده از قاعده طلابی فرمی آهنگ زمانی واپاشی‌های پنگوئن گلثونی کوارک ($b \rightarrow q_i q_k \bar{q}_j (q'_o q'_p)$):

$$\Gamma_{b \rightarrow q_i q_k \bar{q}_j (q'_o q'_p)} = \frac{6}{\pi^7} \left(\frac{16}{81} \right)^2 \left[\frac{g_s^2}{4\pi^2} \right]^4 \left(\frac{M_b}{4} \right)^{11}$$

$$\times \int_0^1 \int_0^1 \int_0^1 dx dy dz [F_1^L(q^2)]^2 \left\{ \frac{xyz^5}{5} f_2 g_2 + \frac{xyz^7}{7} h f_2 - \frac{xyz^7}{7} h f_2 g_2 \right\} \quad (44)$$

در رابطه بالا عامل رنگ مربوط به گلثون تا مرتبه دوم برابر است با:

$$\sum_{a=1}^8 T^a T^a \sum_{a=1}^8 T^a T^a \equiv \frac{4}{9} \frac{4}{9} = \frac{16}{81} \quad (45)$$

در حد $0 \rightarrow m_q$ فرم فاکتور $F_1^L(q^2)$ با رابطه (۲۸) مشخص می‌شود و ثابت‌های f_1 ، f_2 و h عبارتند از:

$$\begin{aligned} f_2 &= (4 - \sqrt{z^2 + a^2} - \sqrt{z^2 + b^2}) - (\sqrt{x^2 + c^2} + \sqrt{y^2 + d^2}) \\ g_2 &= 1 - \frac{(f_2)^2 - (e^2 + x^2 + y^2)}{2\sqrt{x^2 + c^2}\sqrt{y^2 + d^2}}, \\ h &= \frac{1}{\sqrt{z^2 + a^2}} \frac{1}{\sqrt{z^2 + b^2}} \end{aligned} \quad (46)$$

که در آن ثابت‌های e, d, c, b, a بدین صورت تعریف می‌شوند:

$$a = \frac{4m_i}{M_b}, \quad b = \frac{4m_k}{M_b}, \quad c = \frac{4m_p}{M_b}, \quad d = \frac{4m_j}{M_b}, \quad e = \frac{4m_o}{M_b}. \quad (47)$$

نتایج عددی

با استفاده از استاندارد گروه اطلاعات ذرات [۱۳] در مورد پارامترهای ماتریس CKM با مقادیر عمومی $\theta_{23} = 0.041$ ، $\theta_{13} = 0.0035$ ، $\theta_{12} = 0.221$ و انتخاب مقدار $\pi/2$ برای فاز δ_{13} ماتریس CKM می‌توان مثال‌هایی از مدل ارائه شده در این تحقیق بهمیست آورد. مطابق با مقاله علی و گروب [۱۴]، جرم کوارک‌های ورودی و خروجی را بدین صورت در نظر می‌گیریم:

$$\begin{aligned} m_b &= 4.70 \text{ GeV}, \quad m_s = 0.95 \text{ GeV}, \quad m_d = 0.007 \text{ GeV} \\ m_u &= 0.003 \text{ GeV}, \quad m_c = 1.25 \text{ GeV}, \quad m_W = 80.403 \text{ GeV} \end{aligned}$$

مقدار ثابت فرمی را برابر:

$$G_F = 1.16639 \times 10^{-5} \quad (1/(GeV))^2$$

آهنگ زمانی واپاشی‌های پنگوئن در تقریب مرتبه اول و دوم مطابق روابط (۲۵) و (۴۴) برای هر دو ذرات و پاد ذرات $\bar{b} \rightarrow d s \bar{d}, u s \bar{u}, c d \bar{c}, c s \bar{c}, u d \bar{u}, s d \bar{s}, s s \bar{s}, d d \bar{d}$ به ترتیب در جدول ۱ و ۲ نمایش داده شده است.

کل آهنگ زمانی واپاشی حالت شاخه‌ای برابر است با [۱۵]:

$$\Gamma_{tot}^{Tree} = 3.044 \times 10^{-13}$$

و کل آهنگ زمانی واپاشی‌های پنگوئن در تقریب مرتبه اول و دوم برابر است با:

$$\Gamma_{tot}^{Penguin} = 5.304 \times 10^{-15}$$

در نتیجه کل آهنگ زمانی واپاشی‌ها برابر می‌شود با:

$$\Gamma_{tot} = 3.097 \times 10^{-13}$$

برای مثال، مقدار تئوری نسبت تناسب یکی از واپاشی‌های مزون B^- برابر است با:

$$BR_{B^- \rightarrow \pi^-\pi^0} = \frac{\Gamma_{B^- \rightarrow \pi^-\pi^0}}{\Gamma_{tot}} = \frac{\Gamma_{b \rightarrow u\bar{d}\bar{u}}}{\Gamma_{tot}} = \frac{1.035 \times 10^{-17}}{3.097 \times 10^{-13}} = 3.341 \times 10^{-5}$$

و مقدار تجربی این واپاشی مطابق اندازه‌گیری آن در شتابدهنده BABAR برابر است با:

$$BR_{B^- \rightarrow \pi^-\pi^0} < 1.7 \times 10^{-5}$$

بدین ترتیب می‌توان بین مقادیر تئوری و آزمایشگاهی نسبت تناسب واپاشی‌های مختلف مقایسه‌ای به عمل آورد. در جدول ۳ بین نسبت تناسب تئوری واپاشی‌های کوارک b و نسبت تناسب تجربی واپاشی‌های مزون B [۱۲] مقایسه صورت گرفته است. ملاحظه می‌کنیم که مقادیر تئوری محاسبه شده در این تحقیق به مقادیر آزمایشگاهی نزدیک است.

نتیجه‌گیری

در این تحقیق آهنگ زمانی واپاشی‌های کوارک b در حالت پنگوئن گلئونی در تقریب مرتبه اول و دوم محاسبه شده است. در [۱۶] و [۱۷] تقریب مرتبه اول ساختار پنگوئن QCD از طریق تئوری هامیلتونی مؤثر؛ و تقریب مرتبه اول و دوم ساختار پنگوئن QCD با استفاده از نمودارهای فایمن محاسبه شده است. مطابق جدول ۱ واپاشی غالب در واپاشی‌های هادرونی کوارک b، واپاشی‌های $s\bar{s} \rightarrow b$ و $b \rightarrow d\bar{s}\bar{d}$ است زیرا آهنگ زمانی واپاشی‌های $s \rightarrow b$ خیلی بیشتر از واپاشی‌های $d \rightarrow b$ و $u \rightarrow b$ است. بر اساس این تحقیق، تقریب مرتبه دوم پنگوئن گلئونی در واپاشی‌های کوارک b و پاد کوارک \bar{b} خیلی کوچک است و اثر اندکی در کل واپاشی‌ها دارد. به عبارت دیگر توزیع جمله پنگوئن گلئونی در واپاشی‌های کوارک b کوچک و تقریب مرتبه دوم آن به مراتب کوچکتر است. در نتیجه آهنگ زمانی واپاشی‌های کوارک b در حالت شاخه‌ای با مجموع حالت شاخه‌ای و پنگوئن اختلاف اندکی دارد. آهنگ زمانی و نسبت تناسب واپاشی‌های مختلف در مدل‌های مختلف بسیار بهم نزدیک است، ولی آهنگ زمانی کل مجموع حالت شاخه‌ای و پنگوئن نسبت به حالت شاخه‌ای در حدود 1% بیشتر است.

آهنگ زمانی برای واپاشی پاد ذره \bar{b} یعنی $\bar{u}\bar{d}u \rightarrow \bar{b}$ بزرگتر از آهنگ زمانی برای واپاشی کوارک b یعنی $u\bar{d}\bar{u} \rightarrow b$ است. همچنین آهنگ زمانی واپاشی پاد ذره $\bar{u}\bar{s}s \rightarrow \bar{b}$ کمتر از آهنگ زمانی واپاشی ذره $b \rightarrow u\bar{s}\bar{u}$ است. در تقریب مرتبه اول $s\bar{s} \rightarrow b$ و در تقریب مرتبه دوم $s\bar{s} \rightarrow us\bar{u}$ هستند زیرا آهنگ زمانی کل حالت شاخه‌ای و $b \rightarrow ds\bar{d}(c\bar{c})$ بهترین واپاشی‌های غالب هستند. آهنگ زمانی واپاشی‌های مختلف کوارک b و پاد کوارک \bar{b} در حالت شاخه‌ای یکسان است اما در واپاشی‌های پنگوئن گلئونی با یکدیگر متفاوتند. برای مثال $\Gamma_{b \rightarrow csc} > \Gamma_{b \rightarrow \bar{c}\bar{s}\bar{c}}$ و $\Gamma_{b \rightarrow ddd} < \Gamma_{b \rightarrow \bar{d}\bar{d}\bar{d}}$ ، $\Gamma_{b \rightarrow cd\bar{c}} < \Gamma_{b \rightarrow \bar{c}\bar{d}\bar{c}}$ ، $\Gamma_{b \rightarrow ud\bar{u}} < \Gamma_{b \rightarrow \bar{u}\bar{d}\bar{u}}$ ، $\Gamma_{b \rightarrow ds\bar{d}} < \Gamma_{b \rightarrow \bar{d}\bar{s}\bar{d}}$ ، $\Gamma_{b \rightarrow ss\bar{s}} > \Gamma_{b \rightarrow \bar{s}\bar{s}\bar{s}}$ ، $\Gamma_{b \rightarrow us\bar{u}} > \Gamma_{b \rightarrow \bar{u}\bar{s}\bar{u}}$ ، $\Gamma_{b \rightarrow sd\bar{s}} > \Gamma_{b \rightarrow \bar{s}\bar{d}\bar{s}}$ پنگوئن گلئونی واپاشی‌های مختلف کوارک b و پاد کوارک \bar{b} ، $\Gamma_b^{total} = \Gamma_{\bar{b}}^{total}$ ، برابرند.

به عبارت دیگر، در هر واپاشی با شامل شدن قسمت پنگوئن پاد مقارن شدن ماده- پاد ماده ظاهر می‌شود. بیشترین این پاد مقارن در واپاشی ماده $ud\bar{u} \rightarrow b + \bar{b}$ و پاد ماده $\bar{u}d\bar{u} \rightarrow \bar{b}$ ظاهر می‌شود که حدود ۷٪ است. بعبیان دیگر نسبت واپاشی ماده $ud\bar{u} \rightarrow b$ حدود ۷٪ کمتر از واپاشی پاد ماده $\bar{u}d\bar{u} \rightarrow \bar{b}$ است. همچنین نسبت واپاشی ماده $us\bar{u} \rightarrow b$ بیشتر از نسبت واپاشی پاد ماده $\bar{u}s\bar{u} \rightarrow \bar{b}$ است.

پیوست الف: محاسبه آهنگ زمانی واپاشی‌های پنگوئن گلثونی کوارک b تا تقریب مرتبه اول

از آنجا که کوارک b در امتداد زاویه θ_b دارای اسپین $1/2$ و در امتداد زاویه $\theta_b - \pi$ دارای اسپین $1/2$ است و از آنجا که اسپین کوارک b را در امتداد محور z و در چارچوب آزمایشگاه در حال سکون یعنی $p_b = 0$

فرض شده است، بنا بر این تابع موج کوارک b برابر است با:

$$\begin{aligned} |b_{(+1/2)}\rangle &= \frac{1}{\sqrt{V}} \frac{1}{\sqrt{2}} \begin{pmatrix} 1 \\ 0 \end{pmatrix}, \\ |b_{(-1/2)}\rangle &= \frac{1}{\sqrt{V}} \frac{1}{\sqrt{2}} \begin{pmatrix} 0 \\ 1 \end{pmatrix}. \end{aligned} \quad (\text{الف-1})$$

اندازه حرکت کوارک‌های p_k ، p_i ، $p_{\bar{j}}$ را در صفحه xz فرض می‌کنیم ($\varphi = 0$)، و از آنجا که $\vec{p}_b = \vec{p}_i + \vec{p}_k + \vec{p}_{\bar{j}} = 0$

$$\begin{aligned} p_k &= p_k(\sin \theta_k, 0, \cos \theta_k), \\ p_i &= p_i(\sin \theta_i, 0, \cos \theta_i), \\ p_{\bar{j}} &= p_{\bar{j}}(\sin \theta_{\bar{j}}, 0, \cos \theta_{\bar{j}}). \end{aligned} \quad (\text{الف-2})$$

بنا بر این مؤلفه‌های دامنه واپاشی بین صورت به دست می‌آید:

$$\begin{aligned} [\tilde{\sigma}_\mu(q_k b)] &= \sqrt{1+v_k} [(-\sin(\frac{\theta_k}{2}) \cos(\frac{\theta_k}{2})) \tilde{\sigma}_\mu \begin{pmatrix} 1 \\ 0 \end{pmatrix} \text{ or } \begin{pmatrix} 0 \\ 1 \end{pmatrix}], \\ [\tilde{\sigma}^\mu(q_i q_j)] &= \sqrt{1+v_i} \sqrt{1+v_j} [(-\sin(\frac{\theta_i}{2}) \cos(\frac{\theta_i}{2})) \tilde{\sigma}^\mu \begin{pmatrix} -\sin(\frac{\theta_j}{2}) \\ \cos(\frac{\theta_j}{2}) \end{pmatrix}]. \end{aligned} \quad (\text{الف-3})$$

به از ای مقادیر $\mu = 0, 1, 2, 3$ ، مؤلفه‌های دامنه واپاشی برای کوارک b با اسپین $1/2$ و $-1/2$ - برابر می‌شود با:

$$\begin{aligned} &[(\tilde{\sigma}_\mu(q_k b))(\tilde{\sigma}^\mu(q_i q_j))]_{LL(1/2)} = \\ &\sqrt{1+v_i} \sqrt{1+v_j} \sqrt{1+v_k} [\sin(\frac{\theta_i - \theta_j - \theta_k}{2}) + \sin(\frac{\theta_i + \theta_j - \theta_k}{2})] \\ &[(\tilde{\sigma}_\mu(q_k b))(\tilde{\sigma}^\mu(q_i q_j))]_{LL(-1/2)} = \end{aligned}$$

$$\sqrt{1+v_i} \sqrt{1+v_j} \sqrt{1+v_k} \left[\cos\left(\frac{\theta_i - \theta_j - \theta_k}{2}\right) - \cos\left(\frac{\theta_i + \theta_j - \theta_k}{2}\right) \right]. \quad (\text{الف-}4)$$

و مربع آن برابر است با:

$$\begin{aligned} & [(\tilde{\sigma}_\mu(q_k b))(\tilde{\sigma}^\mu(q_i q_j))]_{LL(\frac{1}{2})}^2 = (1+v_i)(1+v_j)(1+v_k) \\ & \times [\frac{1}{2}(1-\cos(\theta_i - \theta_j - \theta_k)) + \frac{1}{2}(1-\cos(\theta_i + \theta_j - \theta_k)) - \cos(\theta_i - \theta_k) + \cos(\theta_j)] \\ & [(\tilde{\sigma}_\mu(q_k b))(\tilde{\sigma}^\mu(q_i q_j))]_{LL(-1/2)}^2 = (1+v_i)(1+v_j)(1+v_k) \quad (\text{الف-}5) \\ & \times [\frac{1}{2}(1+\cos(\theta_i - \theta_j - \theta_k)) + \frac{1}{2}(1+\cos(\theta_i + \theta_j - \theta_k)) - \cos(\theta_i - \theta_k) - \cos(\theta_j)] \end{aligned}$$

برای بهدست آوردن مؤلفه‌های دامنه و اپاشی، اکنون باید روی حالت‌های اسپینی $1/2$ و $-1/2$ کوارک b متوسط گیری کنیم:

$$[(\tilde{\sigma}_\mu(q_k b))(\tilde{\sigma}^\mu(q_i q_j))]_{spin-ave}^2 = (1+v_i)(1+v_j)(1+v_k)[1-\cos(\theta_i - \theta_k)]. \quad (\text{الف-}6)$$

رابطه بالا برای حالت هلیسیته دلخواه $(+, +, +)$ برای واپاشی $q_i q_k \bar{q}_j \rightarrow b$ است. اکنون باید همه حالت‌های

هلیسیته را بهدست آورده و با هم جمع کنیم. با جمع هشت حالت هلیسیته خواهیم داشت:

$$[(\tilde{\sigma}_\mu(q_k b))(\tilde{\sigma}^\mu(q_i q_j))]_{spin-ave}^2 = \frac{1}{2}(1-v_i v_k \cos(\theta_i - \theta_k)). \quad (\text{الف-}7)$$

اکنون می‌توانیم با استفاده از مربع مؤلفه‌های دامنه و اپاشی، آهنگ زمانی واپاشی‌های مختلف کوارک b را محاسبه کنیم. با استفاده از قاعده طلایی فرمی آهنگ دیفرانسیلی زمانی چنین واپاشی‌هایی در حالت کلی برابر است با:

$$d\Gamma = V^2 |M|^2 \frac{d^3 p_i}{(2\pi)^3} \frac{d^3 p_j}{(2\pi)^3} \frac{d^3 p_k}{(2\pi)^3} (2\pi)^4 \delta^4(p_b - p_i - p_j - p_k). \quad (\text{الف-}8)$$

مطابق پایستگی انرژی و تکانه، $E^2 = p^2 + m^2 c^2$ ، داریم:

$$E_{q_j} = \sqrt{m_{q_j}^2 + p_{q_j}^2 + p_{q_k}^2 + 2p_{q_i} p_{q_k} \cos \theta}, \quad (\theta = \theta_i - \theta_k) \quad (\text{الف-}9)$$

با جایگذاری در رابطه آهنگ دیفرانسیلی زمانی واپاشی خواهیم داشت:

$$\begin{aligned} d\Gamma = V^2 & \left[\frac{1}{V\sqrt{2}} \frac{g_s^2}{4\pi^2} T_{q_k b}^a T_{q_i q_j}^a F_1^L(q^2) \right]^2 \times \frac{1}{2}(1-v_i v_k \cos(\theta_i - \theta_k)) \\ & \times \frac{d^3 p_i}{(2\pi)^3} \frac{d^3 p_j}{(2\pi)^3} \frac{d^3 p_k}{(2\pi)^3} (2\pi)^4 \delta^4(p_b - p_i - p_j - p_k). \quad (\text{الف-}10) \end{aligned}$$

بعد از کمی سادهسازی و انتگرال‌گیری بر روی p خواهیم داشت:

$$\Gamma = \left[\frac{1}{\sqrt{2}} \frac{g_s^2}{4\pi^2} T_{q_k b}^a T_{q_i q_j}^a \right]^2 \frac{1}{2} \int \int [F_1^L(q^2)]^2 (1-v_i v_k \cos(\theta_i - \theta_k))$$

$$\times \frac{d^3 p_i}{(2\pi)^3} \frac{d^3 p_k}{(2\pi)^3} (2\pi) \delta(E_i + E_j + E_k - M_b) \quad (الف-۱۱)$$

با جایگذاری E_j در رابطه بالا و این که:

$$\begin{aligned} & \int \delta(E_i + E_k + \sqrt{m_{q_j}^2 + p_{q_i}^2 + p_{q_k}^2 + 2p_{q_i}p_{q_j}\cos(\theta_i - \theta_k)} - M_b) d(\cos(\theta_i - \theta_k)) \\ &= \frac{M_b - E_i - E_k}{p_i p_k} \end{aligned} \quad (الف-۱۲)$$

همچنین

$$\cos(\theta_i - \theta_k) = \frac{(M_b - (E_i + E_k))^2 - (m_j^2 + p_i^2 + p_k^2)}{2p_i p_k}. \quad (الف-۱۳)$$

آهنگ زمانی واپاشی (الف-۱۱) برابر می‌شود با:

$$\begin{aligned} \Gamma = & \left[\frac{1}{\sqrt{2}} \frac{g_s^2}{4\pi^2} T_{q_k b}^a T_{q_i q_j}^a \right]^2 \frac{1}{2} \frac{1}{(2\pi)^4} \int p_i^2 dp_i d\Omega \int [F_1^L(q^2)]^2 p_k^2 dp_k \frac{(M_b - E_i - E_k)}{p_i p_k} \\ & \times \left(1 - \frac{(M_b - (E_i + E_k))^2 - (m_j^2 + p_i^2 + p_k^2)}{2E_i E_k} \right). \end{aligned} \quad (الف-۱۴)$$

با جایگذاری کمیت‌های E_i و E_k بر حسب اندازه حرکت و جرم در رابطه بالا و از آنجا که $-1 \leq \cos \theta \leq 1$ است؛ بنا بر این:

$$0 \leq p_i \leq \frac{M_b}{2}, \quad 0 \leq p_k \leq \frac{M_b}{2}. \quad (الف-۱۵)$$

و فرض می‌کنیم که:

$$p_i = x \frac{M_b}{2}, \quad p_k = y \frac{M_b}{2}. \quad (الف-۱۶)$$

و جایگذاری p_i و p_k در رابطه (الف-۱۴) و کمی سادهسازی، آهنگ زمانی واپاشی‌های پنگوئن گلئونی کوارک $b \rightarrow q_i q_k \bar{q}_j$ تا تقریب مرتبه اول برابر می‌شود با:

$$\Gamma = 3 \frac{1}{8\pi^3} \left(\frac{M_b}{2} \right)^5 \int_0^1 \int_0^1 [\xi(x)]^2 xy f_1 g_1 dx dy. \quad (الف-۱۷)$$

ضریب ۳ نماینده رنگ کوارک b است و

$$f_1 = (2 - \sqrt{x^2 + a^2} - \sqrt{y^2 + b^2})$$

$$g_1 = \left(1 - \frac{(f_1)^2 - (c^2 + x^2 + y^2)}{2\sqrt{x^2 + a^2} \sqrt{y^2 + b^2}} \right)$$

$$\xi(x) = \frac{1}{\sqrt{2}} \frac{g_s^2}{4\pi^2} (T_{q_k b}^a T_{q_i q_j}^a) F_1^L(q^2). \quad (الف-۱۸)$$

ثابت‌های a و b و c عبارتند از:

$$a = \frac{2m_i}{M_b}, \quad b = \frac{2m_k}{M_b}, \quad c = \frac{2m_j}{M_b}. \quad (الف-۱)$$

پیوست ب: محاسبه آهنگ زمانی واپاشی‌های پنگوئن گلئونی کوارک b تا تقریب مرتبه دوم از آنجا که کوارک q_m در امتداد زاویه θ_m دارای اسپین $1/2$ و در امتداد زاویه $\pi - \theta_m$ دارای اسپین $1/2$ است و از آنجا که اسپین کوارک q_m را در امتداد محور z و در چارچوب آزمایشگاه در حال سکون یعنی

فرض شده است، بنا بر این تابع موج کوارک q_m برابر است با:

$$\begin{aligned} |q_{m(-1/2)}\rangle &= \frac{1}{\sqrt{V}} \frac{1}{\sqrt{2}} \begin{pmatrix} 0 \\ 1 \end{pmatrix}, \\ |q_{m(+1/2)}\rangle &= \frac{1}{\sqrt{V}} \frac{1}{\sqrt{2}} \begin{pmatrix} 1 \\ 0 \end{pmatrix}. \end{aligned} \quad (ب-۱)$$

همچنین فرض می‌کنیم اندازه حرکت کوارک‌های $p_{\bar{j}}$, p_p , p_o در صفحه xz باشند، یعنی مؤلفه y آن صفر

باشد ($\varphi = 0$), پس از آنجا که $\vec{p}_{q_m} = \vec{p}_o + \vec{p}_p + \vec{p}_{\bar{j}} = 0$ است، خواهیم داشت:

$$\begin{aligned} p_p &= p_p(\sin \theta_p, 0, \cos \theta_p), \\ p_o &= p_o(\sin \theta_o, 0, \cos \theta_o), \\ p_{\bar{j}} &= p_{\bar{j}}(\sin \theta_{\bar{j}}, 0, \cos \theta_{\bar{j}}). \end{aligned} \quad (ب-۲)$$

بنا بر این مؤلفه‌های دامنه واپاشی (۳۷) بین صورت بدست می‌آید:

$$\begin{aligned} [\tilde{\sigma}_\mu(q_j q_m)] &= \sqrt{1+v_j} \left[(-\sin(\frac{\theta_j}{2}) \cos(\frac{\theta_j}{2})) \tilde{\sigma}_\mu \begin{pmatrix} 1 \\ 0 \end{pmatrix} \right] \text{ or } \begin{pmatrix} 0 \\ 1 \end{pmatrix} \\ [\tilde{\sigma}^\mu(q'_o q'_p)] &= \sqrt{1+v_o} \sqrt{1+v_p} \left[(-\sin(\frac{\theta_o}{2}) \cos(\frac{\theta_o}{2})) \tilde{\sigma}^\mu \begin{pmatrix} -\sin(\frac{\theta_p}{2}) \\ \cos(\frac{\theta_p}{2}) \end{pmatrix} \right] \end{aligned} \quad (ب-۳)$$

به ازای $\mu = 0, 1, 2, 3$ و این‌که $\tilde{\sigma}^\mu [\tilde{\sigma}_\mu] = \tilde{\sigma}^0 \tilde{\sigma}_0 + \tilde{\sigma}^1 \tilde{\sigma}_1 + \tilde{\sigma}^2 \tilde{\sigma}_2 + \tilde{\sigma}^3 \tilde{\sigma}_3$ است، مؤلفه‌های دامنه واپاشی

برای کوارک q_m با اسپین $1/2$ و $-1/2$ برابر می‌شود با:

$$\begin{aligned} &[(\tilde{\sigma}_\mu(q_j q_m))(\tilde{\sigma}^\mu(q'_o q'_p))]_{LL(1/2)} = \\ &\times \sqrt{1+v_o} \sqrt{1+v_p} \sqrt{1+v_j} (\sin(\frac{\theta_o - \theta_p - \theta_j}{2}) + \sin(\frac{\theta_o + \theta_p - \theta_j}{2})), \\ &[(\tilde{\sigma}_\mu(q_j q_m))(\tilde{\sigma}^\mu(q'_o q'_p))]_{LL(-1/2)} = \\ &\times \sqrt{1+v_o} \sqrt{1+v_p} \sqrt{1+v_j} (\cos(\frac{\theta_o - \theta_p - \theta_j}{2}) - \cos(\frac{\theta_o + \theta_p - \theta_j}{2})) \end{aligned} \quad (ب-۴)$$

با مربع این جملات و متوسط گیری روی اسپین $1/2$ و $-1/2$ ، مؤلفه‌های دامنه و اپاشی کوارک q_m برابر است

: با

$$[(\tilde{\sigma}_\mu(q_j q_m))(\tilde{\sigma}^\mu(q'_o q'_p))]_{spin-ave}^2 = (1+v_o)(1+v_p)(1+v_j)[1-\cos(\theta_o - \theta_j)] . \quad (5)$$

با جایگذاری رابطه بالا در (۳۶)، دامنه قسمت شاخه‌ای $g \rightarrow q'_o q'_p$ به صورت زیر بدست می‌آید:

$$\bar{W}^\mu = \tilde{\sigma}^\mu(T_{q_j q_m}^a T_{q'_o q'_p}^a)[\tilde{\sigma}_\mu(q_j q_m)][\tilde{\sigma}^\mu(q'_o q'_p)]$$

$$= \tilde{\sigma}^\mu(T_{q_j q_m}^a T_{q'_o q'_p}^a)(1+v_o)(1+v_p)(1+v_j)[1-\cos(\theta_o - \theta_j)] . \quad (6)$$

حال که دامنه قسمت شاخه‌ای $g \rightarrow q'_o q'_p$ را بدست آورده‌یم، به قسمت اصلی یعنی دامنه و اپاشی پنگوئن (۳۱)

باز می‌گردیم، با جایگذاری \bar{W}^μ از رابطه (۳۶) در دامنه و اپاشی پنگوئن (۳۱) خواهیم داشت:

$$M^{peng} = \left(\frac{g_s^2}{4\pi^2}\right)^2 [\bar{u}_{q_k}(p_{q_k})T_{q_k b}^a F_1^L(q^2) \tilde{\sigma}_\mu u_b(p_b)] \\ \times [\bar{u}_{q_i}(p_{q_i}) \tilde{\sigma}^\mu(T_{q_j q_m}^a T_{q'_o q'_p}^a) [\tilde{\sigma}_\mu(q_j q_m)][\tilde{\sigma}^\mu(q'_o q'_p)] T_{q_i q_j}^a v_{\bar{q}_j}(p_{\bar{q}_j})] . \quad (7)$$

با کمی سادهسازی داریم:

$$M^{peng} = \left(\frac{g_s^2}{4\pi^2}\right)^2 F_1^L(q^2) (T_{q_k b}^a T_{q_i q_j}^a) (T_{q_j q_m}^a T_{q'_o q'_p}^a) \\ \times [\tilde{\sigma}_\mu(q_k b)][\tilde{\sigma}^\mu(q_i q_j)][\tilde{\sigma}_\mu(q_j q_m)][\tilde{\sigma}^\mu(q'_o q'_p)] . \quad (8)$$

که در آن:

$$[\tilde{\sigma}_\mu(q_k b)] = [\bar{u}_{q_k}(p_{q_k}) \tilde{\sigma}_\mu u_b(p_b)] ,$$

$$[\tilde{\sigma}^\mu(q_i q_j)] = [\bar{u}_{q_i}(p_{q_i}) \tilde{\sigma}^\mu u_{\bar{q}_j}(p_{\bar{q}_j})] . \quad (9)$$

ابندا دو عبارت (ب-۹) را محاسبه می‌کنیم. برای این منظور تابع موج کوارک b را همانند (الف-۱) و اندازه حرکت کوارک‌های p_j ، p_i ، p_k را همانند (الف-۲) در نظر می‌گیریم. برای به دست آوردن متوسط مؤلفه‌های

دامنه و اپاشی همانند (الف-۶) محاسبه کرده، خواهیم داشت:

$$[(\tilde{\sigma}_\mu(q_k b))(\tilde{\sigma}^\mu(q_i q_j))]_{spin-ave}^2 = (1+v_i)(1+v_j)(1+v_k)[1-\cos(\theta_i - \theta_k)] . \quad (10)$$

چون برای بدست آوردن آهنگ زمانی و اپاشی‌های پنگوئن کوارک b احتیاج به مربع دامنه و اپاشی پنگوئن است لذا لازم است که مربع رابطه (ب-۸) را بدست آوریم. با استفاده از روابط (ب-۵) و (ب-۱۰) می‌توان مربع

دامنه و اپاشی پنگوئن (ب-۸) را بدست آورد:

$$[(\tilde{\sigma}_\mu(q_k b))(\tilde{\sigma}^\mu(q_i q_j))(\tilde{\sigma}_\mu(q_j q_m))(\tilde{\sigma}^\mu(q'_o q'_p))]_{spin-ave}^2 =$$

$$(1+v_i)(1+v_j)(1+v_k)(1+v_o)(1+v_p)(1+v_j)[1-\cos(\theta_i - \theta_k)][1-\cos(\theta_o - \theta_j)] . \quad (11)$$

عبارت بالا هنوز قانع کننده نیست، زیرا در عبارت بالا فقط یکی از حالات ممکن هلیسیته در نظر گرفته شده است. اکنون باید همه حالات های ممکن هلیسیته را به دست آورده، با هم جمع کنیم. ۶۴ حالت ممکن هلیسیته داریم

که بعد از جمع همه آنها خواهیم داشت:

$$[(\tilde{\sigma}_\mu(q_k b))(\tilde{\sigma}^\mu(q_i q_j))(\tilde{\sigma}_\mu(q_j q_m))(\tilde{\sigma}^\mu(q'_o q'_p))]_{spin-ave}^2 =$$

$$64 [1 - v_o v_j \cos(\theta_o - \theta_j) - v_k v_i \cos(\theta_i - \theta_k) + v_j v_o v_i v_k \cos(\theta_i - \theta_k) \cos(\theta_o - \theta_j)] . \quad (12\text{-}b)$$

با جایگذاری رابطه بالا در دامنه واپاشی پنگوئن (ب-۸)، مربع این دامنه به این صورت به دست می‌آید:

$$|M^{peng}|^2 = \left| \left(\frac{g_s^2}{4\pi^2} \right)^2 F_1^L(q^2) (T_{q_k b}^a T_{q_i q_j}^a) (T_{q_j q_m}^a T_{q'_o q'_p}^a) \right|^2$$

$$\times 64 [1 - v_o v_j \cos(\theta_o - \theta_j) - v_k v_i \cos(\theta_i - \theta_k) + v_j v_o v_i v_k \cos(\theta_i - \theta_k) \cos(\theta_o - \theta_j)] \quad (13\text{-}b)$$

اکنون می‌خواهیم با استفاده از مجزور مؤلفه‌های دامنه واپاشی، آهنگ زمانی واپاشی‌های پنگوئنی کوارک b تا تقریب مرتبه دوم را محاسبه کنیم. با استفاده از قاعده طلایی فرمی آهنگ دیفرانسیلی زمانی چنین واپاشی‌هایی در حالت کلی برابر است با:

$$d\Gamma = V^2 |M|^2 \frac{d^3 p_i}{(2\pi)^3} \frac{d^3 p_j}{(2\pi)^3} \frac{d^3 p_k}{(2\pi)^3} \frac{d^3 p_o}{(2\pi)^3} \frac{d^3 p_p}{(2\pi)^3} (2\pi)^4 \delta^4(p_b - p_i - p_j - p_k - p_p - p_o) \quad (14\text{-}b)$$

با جایگذاری رابطه (ب-۱۳) در رابطه بالا و مرتب کردن جملات بر حسب متغیرهای انتگرال‌گیری، خواهیم داشت:

$$\Gamma = 64 \left[\frac{1}{\sqrt{2}} \left(\frac{g_s^2}{4\pi^2} \right)^2 (T_{q_j q_m}^a T_{q'_o q'_p}^a) (T_{q_k b}^a T_{q_i q_j}^a) \right]^2 (I_1^{peng} + I_2^{peng} + I_3^{peng}) . \quad (15\text{-}b)$$

اینجا I_3^{peng} و I_2^{peng} و I_1^{peng} انتگرال‌های فضای فاز هستند که عبارتند از:

$$I_1^{peng} = \int \int \int \int \int [F_1^L(q^2)]^2 (1 - v_o v_j \cos(\theta_o - \theta_j))$$

$$\times (2\pi) \delta(M_b - E_k - E_i - E_j - E_o - E_p) (2\pi)^3 \delta^3(\vec{p}_b - \vec{p}_i - \vec{p}_j - \vec{p}_k - \vec{p}_p - \vec{p}_o)$$

$$\times \frac{d^3 p_i}{(2\pi)^3} \frac{d^3 p_j}{(2\pi)^3} \frac{d^3 p_k}{(2\pi)^3} \frac{d^3 p_o}{(2\pi)^3} \frac{d^3 p_p}{(2\pi)^3} ,$$

$$I_2^{peng} = - \int \int \int \int \int [F_1^L(q^2)]^2 v_i v_k \cos(\theta_i - \theta_k)$$

$$\times (2\pi) \delta(M_b - E_k - E_i - E_j - E_o - E_p) (2\pi)^3 \delta^3(\vec{p}_b - \vec{p}_i - \vec{p}_j - \vec{p}_k - \vec{p}_p - \vec{p}_o)$$

$$\times \frac{d^3 p_i}{(2\pi)^3} \frac{d^3 p_j}{(2\pi)^3} \frac{d^3 p_k}{(2\pi)^3} \frac{d^3 p_o}{(2\pi)^3} \frac{d^3 p_p}{(2\pi)^3} ,$$

$$I_3^{peng} = \int \int \int \int \int [F_1^L(q^2)]^2 v_o v_j v_i v_k \cos(\theta_o - \theta_j) \cos(\theta_i - \theta_k)$$

$$\times (2\pi) \delta(M_b - E_k - E_i - E_j - E_o - E_p) (2\pi)^3 \delta^3(\vec{p}_b - \vec{p}_i - \vec{p}_j - \vec{p}_k - \vec{p}_p - \vec{p}_o)$$

$$\times \frac{d^3 p_i}{(2\pi)^3} \frac{d^3 p_j}{(2\pi)^3} \frac{d^3 p_k}{(2\pi)^3} \frac{d^3 p_o}{(2\pi)^3} \frac{d^3 p_p}{(2\pi)^3}. \quad (16)$$

اکنون باید I_1^{peng} , I_2^{peng} , I_3^{peng} را محاسبه کنیم و سپس در داخل رابطه (۱۵) قرار دهیم. همانند روشی که در پیوست الف انجام داده‌ایم، می‌توان انتگرال‌های فضای فاز را به صورت زیر محاسبه کرد.

$$I_1^{peng} = \frac{1}{5} \frac{1}{16\pi^7} \left(\frac{M_b}{4}\right)^{11} \iiint_{000}^{111} dx dy dz [F_1^L(q^2)]^2 xyz^5 f_2 g_2,$$

$$I_2^{peng} = \frac{1}{7} \frac{1}{16\pi^7} \left(\frac{M_b}{4}\right)^{11} \iiint_{000}^{111} dx dy dz [F_1^L(q^2)]^2 xyz^7 h f_2,$$

$$I_3^{peng} = \frac{-1}{7} \frac{1}{16\pi^7} \left(\frac{M_b}{4}\right)^{11} \iiint_{000}^{111} dx dy dz [F_1^L(q^2)]^2 xyz^7 h f_2 g_2, \quad (17)$$

در اینجا،

$$f_2 = (4 - \sqrt{z^2 + a^2} - \sqrt{z^2 + b^2}) - (\sqrt{x^2 + c^2} + \sqrt{y^2 + d^2})$$

$$g_2 = 1 - \frac{(f_2)^2 - (e^2 + x^2 + y^2)}{2\sqrt{x^2 + c^2}\sqrt{y^2 + d^2}},$$

$$h = \frac{1}{\sqrt{z^2 + a^2}} \frac{1}{\sqrt{z^2 + b^2}} \quad (18)$$

که در آن ثابت‌های e, d, c, b, a بدین صورت تعریف می‌شوند.

$$a = \frac{4m_i}{M_b}, \quad b = \frac{4m_k}{M_b}, \quad c = \frac{4m_p}{M_b}, \quad d = \frac{4m_j}{M_b}, \quad e = \frac{4m_o}{M_b}. \quad (19)$$

اکنون که مقادیر فضای فاز، I_1^{peng} ، I_2^{peng} و I_3^{peng} مشخص شده‌اند، می‌توان با جایگذاری آن‌ها در رابطه (۱۵)، آهنگ زمانی و اپاشی گلئون پنگوئن تا تقریب مرتبه دوم $b \rightarrow q_i q_k \bar{q}_j (q'_o q'_p)$ را به این صورت به دست آورد:

$$\Gamma_{b \rightarrow q_i q_k \bar{q}_j (q'_o q'_p)} = 3 \times 64 \left[\frac{1}{\sqrt{2}} \left(\frac{g_s^2}{4\pi^2} \right)^2 \left(\frac{16}{81} \right) \right]^2 \frac{1}{16\pi^7} \left(\frac{M_b}{4} \right)^{11} \times \iiint_{000}^{111} dx dy dz [F_1^L(q^2)]^2 \left\{ \frac{xyz^5}{5} f_2 g_2 + \frac{xyz^7}{7} h f_2 - \frac{xyz^7}{7} h f_2 g_2 \right\}. \quad (20)$$

جدول ۱. آهنگ زمانی و اپاشی (DR) و نسبت تناسب (BR) واپاشی‌های کوارک b و پاد کوارک \bar{b} برای واپاشی‌های پنگوئن در تقریب مرتبه اول، $(DR \times 10^{-17} GeV)$ و $(BR \times 10^{-4})$.

Process	DR	BR	Process	DR	BR
$b \rightarrow c\bar{d}\bar{c}$	۶/۰۲۲	۱/۸۲۲	$\bar{b} \rightarrow \bar{c}\bar{d}c$	۷/۰۵۶	۲/۰۷۲
$b \rightarrow c\bar{s}\bar{c}$	۱۱۷/۱۲	۳۴/۴۱	$\bar{b} \rightarrow \bar{c}s\bar{c}$	۱۱۵/۸۷	۳۴/۰۴
$b \rightarrow s\bar{d}\bar{s}$	۹/۱۴۶	۲/۶۸۷	$\bar{b} \rightarrow \bar{s}\bar{d}s$	۹/۴۰۵	۲/۷۶۲
$b \rightarrow d\bar{s}\bar{d}$	۱۸۳/۳۸	۵۳/۸۷	$\bar{b} \rightarrow \bar{d}\bar{s}d$	۱۸۳/۹۹	۵۴/۰۵
$b \rightarrow u\bar{d}\bar{u}$	۱/۰۳۵	۰/۳۰۴	$\bar{b} \rightarrow \bar{u}\bar{d}u$	۱/۲۱۳	۰/۳۵۶
$b \rightarrow u\bar{s}\bar{u}$	۱۹/۷۶۶	۵/۸۰۶	$\bar{b} \rightarrow \bar{u}s\bar{u}$	۱۹/۵۳۱	۵/۷۳۸
$b \rightarrow d\bar{d}\bar{d}$	۸/۱۹۶	۲/۴۰۸	$\bar{b} \rightarrow \bar{d}dd$	۸/۹۰۱	۲/۶۱۵
$b \rightarrow s\bar{s}\bar{s}$	۱۸۵/۵۷	۵۴/۵۱	$\bar{b} \rightarrow \bar{s}\bar{s}s$	۱۸۳/۰۷	۵۳/۷۸

جدول ۲. آهنگ زمانی (DR) واپاشی‌های کوارک b برای واپاشی‌های پنگوئن در تقریب مرتبه دوم. $(DR \times 10^{-19} GeV)$

Process	DR	Process	DR
$b \rightarrow c\bar{c}(d\bar{d})$	۱۰۳/۲۱	$b \rightarrow c\bar{c}(d\bar{d})$	۱۰/۳۶
$b \rightarrow c\bar{c}(u\bar{u})$	۹۸/۷۶	$b \rightarrow c\bar{c}(u\bar{u})$	۹/۸۱۲
$b \rightarrow c\bar{c}(c\bar{c})$	۸۱۱/۷۳	$b \rightarrow c\bar{c}(c\bar{c})$	۷۵/۰۹
$b \rightarrow c\bar{c}(s\bar{s})$	۲۱۷/۰۱	$b \rightarrow c\bar{c}(s\bar{s})$	۲۲/۴۶
$b \rightarrow s\bar{s}(d\bar{d})$	۱۷/۸۵	$b \rightarrow d\bar{s}(d\bar{d})$	۲۳۱/۰۲
$b \rightarrow s\bar{s}(u\bar{u})$	۱۲/۲۳	$b \rightarrow d\bar{s}(u\bar{u})$	۲۱۹/۸۶
$b \rightarrow s\bar{s}(c\bar{c})$	۱۰۷/۱۶	$b \rightarrow d\bar{s}(c\bar{c})$	۹۷۶/۵۲
$b \rightarrow s\bar{s}(s\bar{s})$	۳۹/۴۴	$b \rightarrow d\bar{s}(s\bar{s})$	۳۹۹/۴۱
$b \rightarrow u\bar{u}(d\bar{d})$	۲/۳۲۸	$b \rightarrow u\bar{u}(d\bar{d})$	۳۱/۸۶
$b \rightarrow u\bar{u}(u\bar{u})$	۲/۴۱۵	$b \rightarrow u\bar{u}(u\bar{u})$	۲۷/۰۵
$b \rightarrow u\bar{u}(c\bar{c})$	۲۸/۸۹	$b \rightarrow u\bar{u}(c\bar{c})$	۳۰۱/۱۴
$b \rightarrow u\bar{u}(s\bar{s})$	۸/۱۹۷	$b \rightarrow u\bar{u}(s\bar{s})$	۹۰/۶۷
$b \rightarrow d\bar{d}(d\bar{d})$	۱۹/۲۳	$b \rightarrow s\bar{s}(d\bar{d})$	۲۵۶/۱۱
$b \rightarrow d\bar{d}(u\bar{u})$	۱۰/۸۱	$b \rightarrow s\bar{s}(u\bar{u})$	۲۴۰/۸۱
$b \rightarrow d\bar{d}(c\bar{c})$	۱۳۱/۷۶	$b \rightarrow s\bar{s}(c\bar{c})$	۹۹۸/۷۶
$b \rightarrow d\bar{d}(s\bar{s})$	۴۲/۲۴	$b \rightarrow s\bar{s}(s\bar{s})$	۴۱۷/۶۲

جدول ۳. نسبت تناسب تدوری واپاشی‌های کوارک b و نسبت تناسب تجربی واپاشی‌های مزون B.

واپاشی کوارک b	واپاشی‌های مزون B	نسبت تناسب تدوری واپاشی کوارک b	نسبت تناسب تجربی واپاشی‌های مزون B
$b \rightarrow u\bar{u}$	$\bar{B}^0 \rightarrow (\pi^+, \rho^+), (\pi^-, \rho^-)$	$8/99 \times 10^{-3}$	$<2/303 \times 10^{-3}$
$\bar{b} \rightarrow \bar{u}\bar{d}u$	$B^+ \rightarrow (\pi^0, \eta, \rho^0, \omega), (\pi^+, \rho^+)$	$9/43 \times 10^{-3}$	$<1/587 \times 10^{-3}$
$b \rightarrow u\bar{u}$	$\bar{B}^0 \rightarrow (\pi^+, \rho^+), (K^-, K^{*-})$	$6/01 \times 10^{-3}$	-----
$\bar{b} \rightarrow \bar{u}s u$	$B^0 \rightarrow (\pi^0, \eta, \rho^0, \omega), (K^0, K^{*0})$	$5/94 \times 10^{-3}$	$<5/67 \times 10^{-3}$
$b \rightarrow c\bar{d}\bar{c}$	$\bar{B}^0 \rightarrow (D^+, D^{*+}), (D^-, D^{*-})$	$9/85 \times 10^{-3}$	$<5/2 \times 10^{-3}$
$\bar{b} \rightarrow \bar{c}\bar{d}c$	$B^0 \rightarrow (\chi_c, J/\psi), (\pi^0, \eta, \rho^0, \omega)$	$9/89 \times 10^{-3}$	-----
$b \rightarrow c\bar{s}\bar{c}$	$\bar{B}^0 \rightarrow (D^+, D^{*+}), (D_s^-, D_s^{*-})$	$17/07 \times 10^{-3}$	-----
$\bar{b} \rightarrow \bar{c}\bar{s}c$	$B^+ \rightarrow (\bar{D}^0, \bar{D}^{*0}), (D_s^+, D_s^{*+})$	$17/10 \times 10^{-3}$	$<(6/1 \pm 2/3) \times 10^{-3}$
$b \rightarrow s\bar{s}\bar{s}$	$\bar{B}^0 \rightarrow (\bar{K}^0, \bar{K}^{*0}), (\eta', \phi)$	$5/44 \times 10^{-3}$	$<6/531 \times 10^{-3}$
$\bar{b} \rightarrow \bar{s}\bar{s}s$	$B^+ \rightarrow (K^+, K^{*+}), (\eta', \phi)$	$5/44 \times 10^{-3}$	$<7/582 \times 10^{-3}$

منابع

1. A. J. Buras, "Weak Hamiltonian, CP Violation and Rare Decays", arxive: hep-ph/9806471V1 (1998)
2. A. Vainshtein, "How Penguin started to fly", Int. J. Mod.Phys. A14, 4705 (1999).
3. R. Fleischer, "Exploring CP Violation and Penguin Effects through $B_d^0 \rightarrow D^+ D^{*-}$ and $B_s^0 \rightarrow D_s^+ D_s^-$ ", Eur.Phys.J.C51, 849 (2007).
4. T. N. Pham, "Charming penguin in nonleptonic B decays", AIP Conf.Proc. 602, 206 (2001).
5. R. Fleischer, S. Recksiegel, " $b \rightarrow d$ Penguins: CP Violation, General Lower Bounds on the Branching Ratios and Standard Model Tests", Contribution to the proceedings of EPS-HEP2005 , arxive:hep-ph/0511325 (2005).
6. R. Fleischer, S. Recksiegel, "General Lower Bounds for $b \rightarrow d$ Penguin Processes", Phys. Rev. D71, 051501 (2005).
7. R. Fleischer, "Flavour Physics and CP Violation", lectures at the 2005 European School of High-Energy Physics, Kitzbuehel, Austria, 21 August - 3 September 2005, arxive: hep-ph/0608010 (2006).
8. Z. Xiao, C. S. Li, K. T. Chao, "Gluon penguin enhancements to inclusive charmless decays of b quark in the 2HDM with flavor changing couplings", Phys.Lett. B473, 148 (2000).
9. M. Beneke, J. Rohrer, D. Yang, "Enhanced electroweak penguin amplitude in $B \rightarrow VV$ decays", Phys.Rev.Lett. 96, 141801 (2006).
10. S. A. Abel, W. N. Cottingham, I. B. Wittingham, "Gluon and gluino penguins and the charmless decays of the b quark", Phys.Rev. D58, 073006 (1998).
11. Z. Xiao, W. Li, L. Guo, G. Lu, "Charmless decays $B \rightarrow PP, PV$, and effects of new strong and electroweak penguins in Topcolor-assisted Technicolor model", Eur. Phys. J. C18, 681 (2001).
12. A. J. Buras, P. Gambino, U. Haisch, "Electroweak Penguin Contributions to Non-Leptonic $\Delta F = 1$ Decays at NNLO", Nucl.Phys. B570, 117 (2000).
13. "Particle Data Group", J Phys, G 33, 1 (2008).

14. A. Ali, C. Greub, "An analysis of two-body non-leptonic B decays involving light mesons in the standard model", Phys.Rev. D57, 2996 (1998).
15. W. N. Cottingham, H. Mehrban, I. B. Wittingham, "Hadronic B decays: Supersymmetric enhancement and a simple spectator model", Phys.Rev. D60,114029 (1999).
16. G. Buchalla, T. K. Komatsubara, F. Muheim, L. Silvestrini, "B, D and K Decays", Eur. Phys. J C57, 309 (2008).
17. M. Artuso, E. Barberio, S. Stone, "B Meson Decays", PMC Phys. A, 33 (2009).
18. M. A. Bigdeli, G. H. Mahdavinia, S. Jafari, H. Hazarkhani, "Wet 2,4,6-trichloro [1,3,5] triazine (TCT) an efficient catalyst for synthesis of α,α' -bis(substituted-benzylidene) cycloalkanones under solvent-free conditions", Catal. Commun. 8 (2007) 2229-2231.

SID



سرمایه های
ویژه



سرمایه ترجمه
تخصصی



کارگاه های
آموزشی



بلاگ
مرکز اطلاعات علمی
خبرنامه



عضویت در
خبرنامه



فیلم های
آموزشی

کارگاه های آموزشی مرکز اطلاعات علمی جهاد دانشگاهی

PROPOSAL
پروپوزال

دستورات انتشار
پروپوزال نویس و پایان نامه نویسی

کارگاه آنلاین
پروپوزال نویسی و پایان نامه نویسی

روش تحقیق و مقاله نویسی علوم انسانی

دستورات انتشار

کارگاه آنلاین
روش تحقیق و مقاله نویسی علوم انسانی

آشنایی با بایکاه های اطلاعات علمی میان المللی و ترفندهای جستجو

ISI
Scopus

دستورات انتشار

کارگاه آنلاین آشنایی با بایکاه های اطلاعات علمی
میان المللی و
ترفندهای جستجو